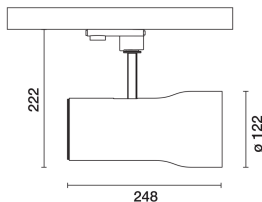


Ultimo aggiornamento delle informazioni: Marzo 2025

Configurazione di prodotto: 523A

523A: Proiettore SIPARIO Ø122 - DALI - VeryWideFlood - OBLens -

**Codice prodotto**

523A: Proiettore SIPARIO Ø122 - DALI - VeryWideFlood - OBLens -

Descrizione tecnica

Proiettore orientabile Ø122 con adattatore per installazione a basetta o binario tensione di rete. Sorgente Led con tecnologia C.O.B (Chip on board) ad alta resa cromatica -CRI90- tonalità 4000K.

Corpo realizzato in pressofusione di alluminio con tappo posteriore ed anello frontale in materiale termoplastico (Mass-Balance). Il prodotto permette una rotazione di 360° attorno all'asse verticale con blocco meccanico e un'inclinazione di 90° rispetto al piano orizzontale. Dissipazione del calore passiva.

Sistema ottico OptiBeam Lens con ottica VeryWideFlood.

Alimentatore elettronico dimmerabile DALI-2 integrato nel corpo illuminante.

Proiettore con sistema Push&Go progettato per facilitare e velocizzare in sicurezza l'accoppiamento tra prodotto e accessorio ottico. La disconnessione meccanica permette lo sgancio dell'accessorio ma non la caduta. Possibilità di utilizzo in contemporanea di tre accessori interni ed uno esterno. Tutti gli accessori interni ed esterni sono ruotabili di 360° rispetto all'asse longitudinale del proiettore.

Installazione

Basetta o binario tensione di rete.

Colore

Bianco (01) | Nero opaco (V0)

Peso (Kg)

1.82

Montaggio

binario trifase

Soddisfa EN60598-1 e relative note

**Dati tecnici**

| | | | |
|--|------|------------------------------------|---------------------------------|
| Im di sistema: | 2603 | CRI (minimo): | 90 |
| W di sistema: | 29.4 | Temperatura colore [K]: | 4000 |
| Im di sorgente: | 3470 | MacAdam Step: | 2 |
| W di sorgente: | 26 | Life Time LED 1: | > 50,000h - L90 - B10 (Ta 25°C) |
| Efficienza luminosa (lm/W, dati di sistema): | 88.5 | Codice lampada: | LED |
| Im in modalità emergenza: | - | Numero di lampade per vano ottico: | 1 |
| Flusso totale emesso a 90° o superiore [Lm]: | 0 | Codice ZVEI: | LED |
| Light Output Ratio (L.O.R.) [%]: | 75 | Numero di vani ottici: | 1 |
| Angolo di apertura [°]: | 60° | Control: | DALI-2 |

Polare

| | | | | |
|--|----------------------------|-----|-----|------|
| | CIE | | | |
| | nL 0.75 | | | |
| | 94-100-100-100-75 | | | |
| | UGR 18.7-18.7 | | | |
| | DIN A.61 | | | |
| | UTE | | | |
| | 0.75A+0.00T | | | |
| | F*1=945 | | | |
| | F*1+F*2=996 | | | |
| | F*1+F*2+F*3=1000 | | | |
| | CIBSE | | | |
| | LG3 L<3000 cd/m² at 65° | | | |
| | UGR<19 L<3000 cd/mq @65° | | | |
| | Lux | | | |
| | h | d | Em | Emax |
| | 2 | 2.3 | 544 | 690 |
| | 4 | 4.7 | 136 | 173 |
| | 6 | 7 | 60 | 77 |
| | 8 | 9.3 | 34 | 43 |

Coefficienti di utilizzazione

| R | 77 | 75 | 73 | 71 | 55 | 53 | 33 | 00 | DRR |
|------|----|----|----|----|----|----|----|----|-----|
| K0.8 | 66 | 62 | 59 | 57 | 61 | 59 | 58 | 56 | 74 |
| 1.0 | 69 | 66 | 63 | 61 | 65 | 63 | 62 | 60 | 79 |
| 1.5 | 73 | 71 | 68 | 67 | 70 | 68 | 67 | 65 | 86 |
| 2.0 | 76 | 74 | 72 | 71 | 73 | 71 | 70 | 68 | 91 |
| 2.5 | 77 | 76 | 75 | 73 | 75 | 74 | 73 | 71 | 94 |
| 3.0 | 78 | 77 | 76 | 75 | 76 | 75 | 74 | 72 | 96 |
| 4.0 | 79 | 78 | 78 | 77 | 77 | 77 | 75 | 73 | 98 |
| 5.0 | 80 | 79 | 79 | 78 | 78 | 77 | 76 | 74 | 99 |

Curva limite di luminanza

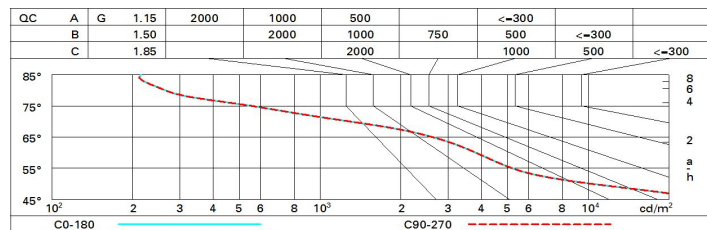


Diagramma UGR

| Corrected UGR values (at 3470 lm bare lamp luminous flux) | | | | | | | | | | | |
|--|------|---------------------|------|------|------|------|-------------------|------|------|------|------|
| Reflect.: ceiling/cav walls work pl. Room dim x y | | viewed crosswise | | | | | viewed endwise | | | | |
| | | 0.70 | 0.70 | 0.50 | 0.50 | 0.30 | 0.70 | 0.70 | 0.50 | 0.50 | 0.30 |
| | | 0.50 | 0.30 | 0.50 | 0.30 | 0.30 | 0.50 | 0.30 | 0.50 | 0.30 | 0.30 |
| | | 0.20 | 0.20 | 0.20 | 0.20 | 0.20 | 0.20 | 0.20 | 0.20 | 0.20 | 0.20 |
| | | | | | | | | | | | |
| 2H | 2H | 19.2 | 19.9 | 19.5 | 20.2 | 20.4 | 19.2 | 19.9 | 19.5 | 20.2 | 20.4 |
| | 3H | 19.1 | 19.7 | 19.4 | 20.0 | 20.3 | 19.1 | 19.7 | 19.4 | 20.0 | 20.3 |
| | 4H | 19.1 | 19.6 | 19.4 | 19.9 | 20.2 | 19.1 | 19.6 | 19.4 | 19.9 | 20.2 |
| | 6H | 19.0 | 19.5 | 19.3 | 19.8 | 20.1 | 19.0 | 19.5 | 19.3 | 19.8 | 20.1 |
| | 8H | 18.9 | 19.4 | 19.3 | 19.8 | 20.1 | 18.9 | 19.4 | 19.3 | 19.8 | 20.1 |
| | 12H | 18.9 | 19.4 | 19.3 | 19.7 | 20.1 | 18.9 | 19.4 | 19.3 | 19.7 | 20.1 |
| 4H | 2H | 19.1 | 19.6 | 19.4 | 19.9 | 20.2 | 19.1 | 19.6 | 19.4 | 19.9 | 20.2 |
| | 3H | 18.9 | 19.4 | 19.3 | 19.7 | 20.1 | 18.9 | 19.4 | 19.3 | 19.7 | 20.1 |
| | 4H | 18.8 | 19.3 | 19.2 | 19.6 | 20.0 | 18.8 | 19.3 | 19.2 | 19.6 | 20.0 |
| | 6H | 18.7 | 19.1 | 19.2 | 19.5 | 19.9 | 18.7 | 19.1 | 19.2 | 19.5 | 19.9 |
| | 8H | 18.7 | 19.0 | 19.1 | 19.5 | 19.9 | 18.7 | 19.0 | 19.1 | 19.5 | 19.9 |
| | 12H | 18.7 | 19.0 | 19.1 | 19.4 | 19.8 | 18.7 | 19.0 | 19.1 | 19.4 | 19.8 |
| 8H | 4H | 18.7 | 19.0 | 19.1 | 19.5 | 19.9 | 18.7 | 19.0 | 19.1 | 19.5 | 19.9 |
| | 6H | 18.6 | 18.9 | 19.1 | 19.3 | 19.8 | 18.6 | 18.9 | 19.1 | 19.3 | 19.8 |
| | 8H | 18.6 | 18.8 | 19.0 | 19.3 | 19.8 | 18.6 | 18.8 | 19.0 | 19.3 | 19.8 |
| | 12H | 18.5 | 18.7 | 19.0 | 19.2 | 19.7 | 18.5 | 18.7 | 19.0 | 19.2 | 19.7 |
| 12H | 4H | 18.7 | 19.0 | 19.1 | 19.4 | 19.8 | 18.7 | 19.0 | 19.1 | 19.4 | 19.8 |
| | 6H | 18.6 | 18.8 | 19.0 | 19.3 | 19.8 | 18.6 | 18.8 | 19.0 | 19.3 | 19.8 |
| | 8H | 18.5 | 18.7 | 19.0 | 19.2 | 19.7 | 18.5 | 18.7 | 19.0 | 19.2 | 19.7 |
| Variations with the observer position at spacing: | | | | | | | | | | | |
| S = | 1.0H | 4.6 / -10.7 | | | | | 4.6 / -10.7 | | | | |
| | 1.5H | 7.3 / -12.7 | | | | | 7.3 / -12.7 | | | | |
| | 2.0H | 9.3 / -15.4 | | | | | 9.3 / -15.4 | | | | |